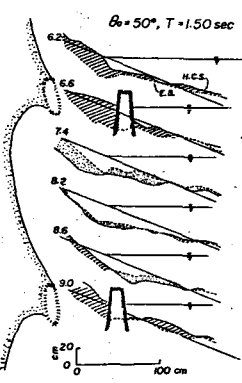




下手側では下手側ヘッドランドに向う流れが存在する。安定海浜形成時の海浜断面形状は図-4であって、ヘッドランド付近ではトンボロの発達により侵食性海浜に比べて土砂が堆積し、とくにヘッドランド前面への堆積が見られる。一方、ヘッドランドに挟まれた最大湾入を示す位置では、侵食性海浜の場合よりも汀線が後退しているが、海浜勾配は全体的に大きな変化が見られない。このことから従来から指摘されている構造物前面の沈下の問題にと、よい結果をもたらすものといえよう。以上の実験から得られた海浜の形状について、最大湾入の距離 $a$ 、ヘッドランドの先端を結ぶ線と汀線の角度 $\theta_0$ などの値を読み取り、波浪特性などとの関係を示すと、まず図-5は安定海浜の汀線形状を波浪の周期ごとは無次元表示したもので、波浪の周期が大きくなるほど海浜の湾入が小さくなることを示している。また、 $\tan\theta_0$ も、図-6に示すように、周期が大きくなればその値は小さくなり、安定海浜の形成に周期が影響すること示している。図-7は同一周期で沖波波向が相違する場合の安定海浜の形状であって、入射角が大きくなれば海浜の湾入が大きくなる傾向を示している。さらに、沖波波向や周期のみならずヘッドランドの間隔も安定海浜の形状に影響を与えるものと考えられるが、その一例を図-8に示す。これからも波長に対するヘッドランドの間隔 $b$ が大きくなれば、安定海浜の湾入が小さくなることがわかる。

一方、海浜勾配の分布は一般に安定海浜の上手側ヘッドランドから下手側に向うほど勾配が急となり、これは海成内に来襲する波浪が上手側ではヘッドランドにより、反射波となるが、下手側では波が直接来襲することによるのであろう。また、実験と現地では勾配の値に大きな差が見られ、実験と現地における縮尺効果のあらわれと考えられる。侵食性海浜から安定海浜までの海浜の侵食土砂量の時間的変化を図-9に示すが、侵食性海浜の形成時には単位時間当たり $0.3 \sim 0.6 \times 10^4 \text{ cm}^3/\text{m}$ の侵食土砂量である。図-4 海浜断面形状



4. 結語：海岸侵食制御工法としての安定海浜の形成について

実験を行い、安定海浜の汀線形状は、来襲波浪の波向のみならず周期およびヘッドランドの間隔と密接に関係することを明らかにした。また、安定海浜は侵食土砂量の面においても、構造物のない侵食性海浜の場合に比べて非常に少なく、沿岸漂砂の制御の面からも有効であると考えられる。

